Gouvernement du Québec
Ministère des Ressources naturelles
Secteur des mines

# SYNTHÈSE STRUCTURALE ET DES PLUTONS DU SECTEUR À L'OUEST DE LASARRE

Géologie par Sylvain Lacroix

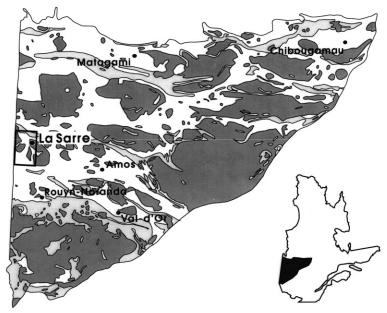


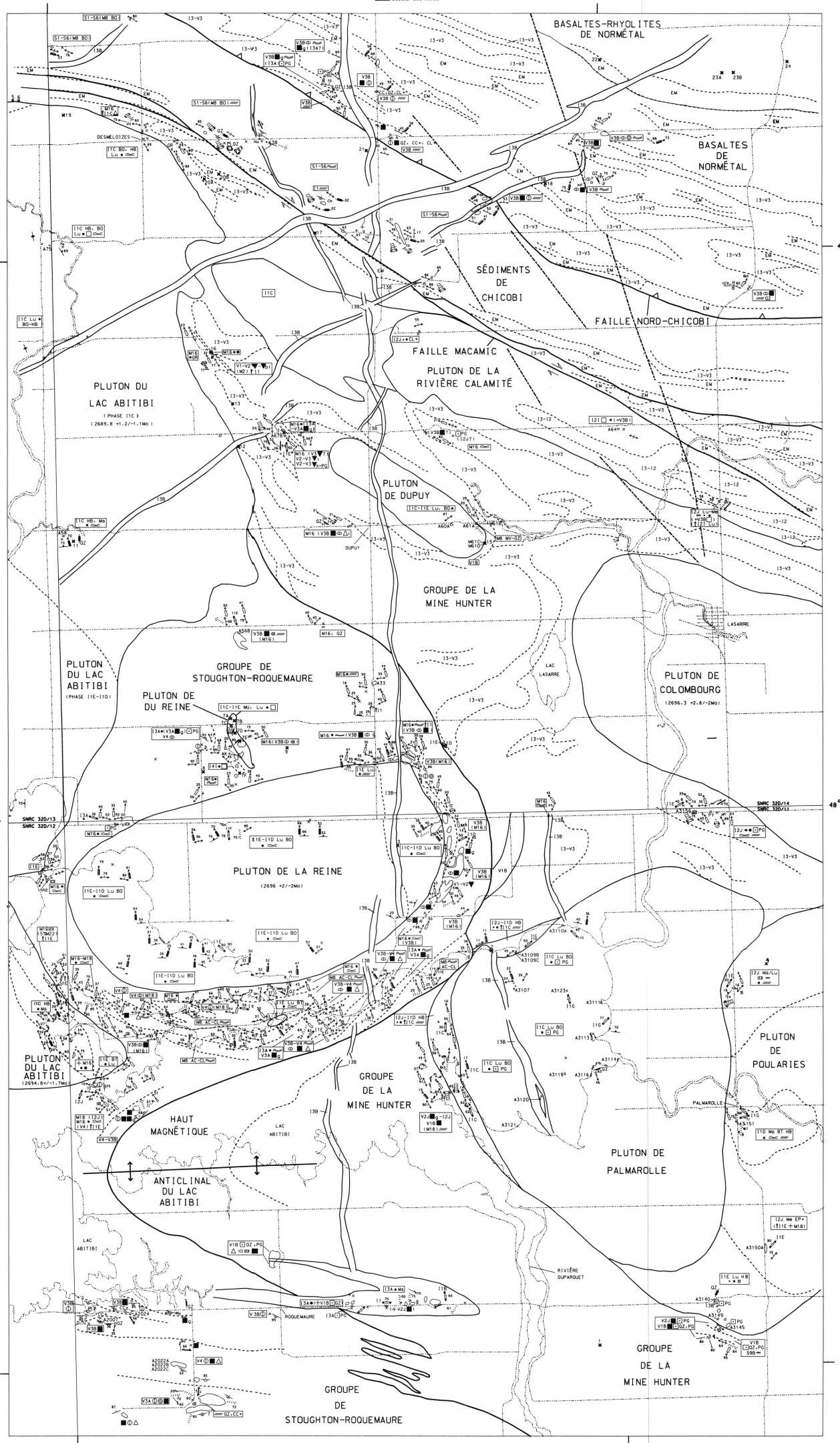


Kilomètre 0 1,0 2,0 3,0 4,0 5,0 6,0 kilomètres

ÉCHELLE NUMÉRIQUE : 1:50 000

**MB 95-39**
**Feuillet 1 de 1**

### *Protérozoïque*

I3B Diabase

### *Archéen*

**Roches intrusives**

I1 Felsite
I1B Granite
I1C Granodiorite
I1D Tonalite
I1E Trondhjémite
I2I Diorite quartzifère
I2J Diorite
I3-I2 Gabbro-Diorite
*(Haut gradiométrique)*
I3-V3 Gabbro-Basalte
*(Haut gradiométrique)*
I3A Gabbro
I4I Péridotite

**Roches sédimentaires**

S1 Grès
S6 Mudrock
S9B Formation de fer au faciès oxyde
EM Conducteur électromagnétique régional

**Roches volcaniques**

V1B Rhyolite
V1-V2 ▼-▼bl Tuf felsique-intermédiaire à tuf à blocs & lapilli
V2-V3 ▼x-PG Tuf intermédiaire-mafique à cristaux de plagioclase
V2J Andésite
V2-V3 ▼I Tuf intermédiaire-mafique à lapilli
V3▼ Tuf mafique
V3A Basalte andésitique
V3B Basalte
V4 Komatiite

**Métamorphiques**

M2 Gneiss rubané
M8 Schiste
M16 Amphibolite
M18 Cornéenne
M22 Migmatite

**Morphofaciès**

Coulée massive
Coulée bréchique
Coulée massive
Coulée massive grenue
Lobes
Coussins aplatis
Coussins déformés en molaire

**Minéraux**

AC Actinote
BO Biotite
CL Chlorite
GP Graphite
GR Grenat
HB Hornblende
MV Muscovite
PG Plagioclase
QZ Quartz

**Altérations**

EP+ Épidotisation
CC+ Carbonatation
Si+ Silicification
Cl+ Chloritisation

**Autres symboles**

Topographie
x Affleurement
Aire d'affleurement
$X_1$ Occurences minéralisées
A61A Analyse totale
M61C Analyse d'échantillons minéralisés

**Textures-Structures**

Lu Leucocrate
Ms Mésocrate
Me Mélanocrate
● à grain fin
● à grain moyen
● à grain grossier
Lits minces (1-10cm)
Lits moyens (10-25 cm)
Massif
Bréche intrusive
Injections felsiques
(+V2J) Enclaves d'andésites
Rubané
Vésiculaire
Fracturé
Cisaillé
Foliié
Schisteux

**Structures régionales**

Contact d'unités lithologiques
Contact d'unités stratigraphiques ou plutoniques
Faille de décrochement dextre (D2)
Faille de chevauchement-inverse (D1)
Faille transverse interprété par géophysique
Anticlinal

**Structures locales**

Stratification (Sommet non déterminé)
a) pendage incliné, b) pendage vertical, c) pendage non mesuré
Stratification (sommet déterminé)
a) pendage incliné, b) pendage vertical
c) pendage non mesuré, d) pendage incliné, lits renversés

Foliation magmatique :
a) pendage incliné, b) pendage vertical
Surface S : clivage, schistosité
Surface S1 : a) inclinée, b) verticale, c) pendage non mesuré
Surface S2 : a) inclinée, b) verticale, c) pendage non mesuré

Cisaillement dextre :
a) incliné, b) vertical, c) pendage non mesuré
Cisaillement
a) incliné, b) vertical, c) pendage non mesuré
Faille locale :
a) inclinée, dextre, b) verticale, senestre

Faille inclinée :
a) inverse, b) normale

Shear band dextre : a) incliné, b) vertical

Corridor vertical de veines de tension : a) senestre, b) dextre

Veine : a) inclinée, b) verticale

Dyke : a) incliné, b) vertical

S Z M Plis locaux : a) en S, b) en Z, c) en M

Stries de failles

Tiges de quartz
Linéations minérales
Linéations d'étirement
Linéations magmatiques

OCCURENCES MINÉRALISÉES DANS LE SECTEUR

| Nos | SNRC | Minéralisations |
|---|---|---|
| 1 | 32 D/11 | 6,7 g/t Au/0,31m |
| | | 1,52% Cu/0,31m |
| | | 11g/t Au/1,5m |
| | | 1,22g/t Au/1,06m |
| 2 | 32 D/11 | 2200g/t Ag/0,3m |
| 3 | 32 D/11 | 1,3g/t Au |
| 4 | 32 D/11 | 4,8 g/t Ag/0,5m |
| 5 | 32 D/13E | 0,68g/t Ag/0,6m |
| 6 | 32 D/13E | 0,34g/t Au/2m |
| | | 2g/t Au/0,8m |
| 7 | 32 D/14 | Du Reine (Manley) |
| 7A | 32 D/14 | 2,4g/t Au/0,7m |
| 7B | 32 D/14 | 3g/t Au/3,4m |
| 7C | 32 D/14 | 2g/t Au/0,3m |
| | | à 4g/t Au/0,6m |
| 7D | 32 D/14 | 2,17g/t Au/0,1m |
| 7E | 32 D/14 | 10g/t Au/0,3m |
| | | 8g/t Au/0,3m |
| 7F | 32 D/14 | 9,33g/t Au |
| 8 | 32 D/14 | 0,14% Ni, 3,28% Cu |
| | | 0,29 % Ni, 0,18% Cu |
| 9 | 32 D/14 | 9,8g/t Au |
| 10 | 32 D/14 | 5,14 g/t Au/0,4m |
| | | 10,97 g/t Au/0,3m |
| | | 4,48% Mo |
| | | 6,03% Mo/1m |
| | | 15,9% Ba |
| | | 2,51% Mo |
| | | 2,53 % Mo/0,7m |
| | | 4,14% Mo/0,6m |
| 11 | 32 D/14 | Cu, Zn, Pb |
| 12 | 32 D/14 | 0,04% Cu/0,9m |
| 13 | 32 D/14 | 0,1% Cu/0,7m |
| 14 | 32 D/14 | 4,25% Zn/0,6m |
| | | 0,5% Cu, 6,3% Zn/0,6m |
| 15 | 32 D/14 | 2,35% Zn |
| 16 | 32 D/14 | Duvan Copper |
| | | Prod. (1960): 1052T |
| | | à 11,99% Cu, 100.8g/t Ag |
| | | Rés.: 102 600T à 2,5% Cu |
| 17 | 32 D/14 | 1,82% Zn/1,8m |
| 18 | 32 D/14 | 4,8 g/t Ag/0,5m |
| 19 | 32 D/14 | 0,28% Ni/1,5m |
| 20A | 32 D/14 | 4,25% Zn/1,2m |
| | | 12,4% GP/1,5m |
| | | 0,12% Cu/1,5m |
| | | 7% GP, 4% Zn, 0,29% Cu/?m |
| 20B | 32 D/14 | 0,12% Cu/1,5m |
| 21 | 32 D/14 | 2,3% Zn/0,5m |
| 22 | 32 D/14 | 0,5% Zn/6,1m |
| 23A | 32 D/14 | 26,5g/t Ag, 2,4% Zn, 1,97% Pb/1,1m |
| 23B | 32 D/14 | 0,17% Cu, 7,21% Zn, 7,86g/t Ag/2,7m |
| 24 | 32 D/14 | 3,7g/t Ag, 0,16% Cu/1,5m |

CARTE SUPPLÉMENTAIRE DE LOCALISATION DES ANALYSES GÉOCHIMIQUES

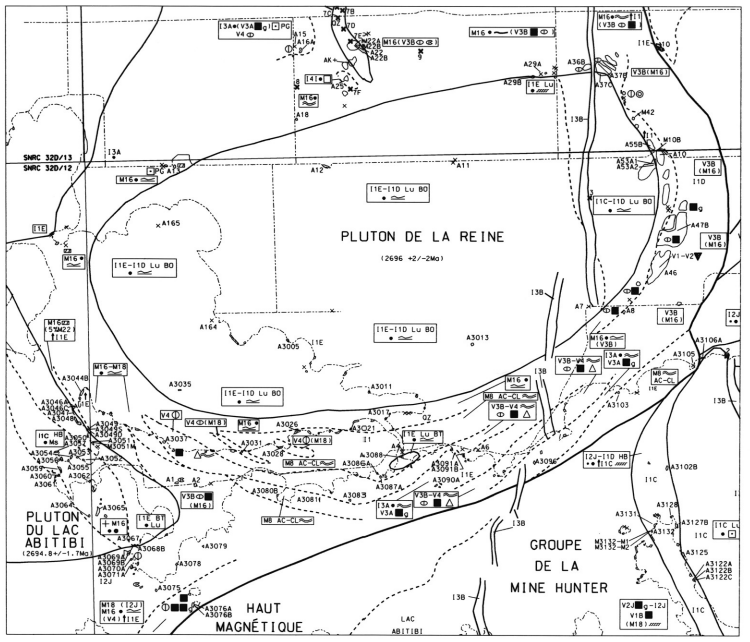


Canada Québec
Travaux réalisés dans le cadre de l'Entente auxiliaire Canada-Québec sur le développement minéral